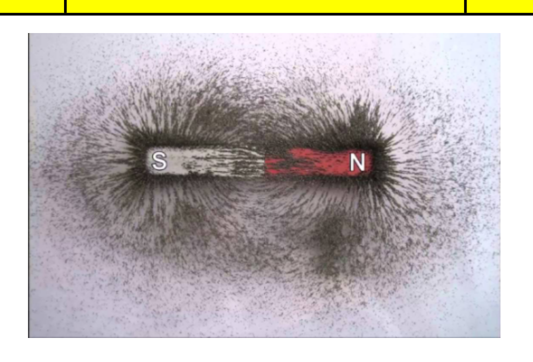
EVENTOS ALARMANTES EN INOCULADOS	ÉVÉNEMENTS ALARMANTS DANS LES INOCULÉS	ALARMING EVENTS IN INOCULATED PERSONS



COVID-19: ELECTROMAGNETISMO EN LAS PERSONAS

PROCEDIMIENTO inicial de detección, análisis e interrogación sobre lo que está sucediendo

Reflexiones de un Equipo Interdisciplinario Internacional[1]

https://drive.google.com/drive/folders/16vSnPNKfdvhC1yX-xHCTk08lhrpOvCoF?usp=sharing

COVID-19 : L'ÉLECTROMAGNÉTISME DANS LES PERSONNES

PROCÉDURE initiale de détection, d'analyse et d'interrogation de ce qui se passe

Réflexions d'une équipe interdisciplinaire internationale

COVID-19: ELECTROMAGNETISM IN PEOPLE

Initial PROCEDURE of detection, analysis and interrogation of what is happening

Reflections of an International Interdisciplinary Team

+

Aristeo, Iliana *(Argentina, abogada penalista)*
Cabrera Avivar, Mario *(Uruguay, médico especialista en salud pública)*
Campra Madrid, Pablo *(España, químico y biólogo)*
Chiappano, Alejandra *(Argentina, médica pediatra y neonatología)*
Delgado, Ricardo *(España, bioestadístico)*
Fano, Walter Gustavo *(Argentina, físico)*
Ferracani Ristenpart, Enrique *(Argentina, médico cirujano cardiovascular)*
Ferrante, Andrés *(Argentina, letras)*
Martínez, Luis Marcelo *(Argentina, médico genetista)*
Nahúm, Omar *(Argentina, traductor científico)*
Puñales Moreno, Winston *(Uruguay, teniente coronel retirado)*
Salle, Nicolle *(Uruguay, dentista)*
Sarlangue, Germán *(Argentina, ciencias políticas)*
Sevillano, José Luis *(España, médico de familia)*
Yahbes, Eduardo *(Argentina, médico pediatra)*
Witt, Marcela *(Argentina, bioquímica)*

[1] Agradecemos a todas las personas que han colaborado directa o indirectamente con este Equipo, algunas de las cuales han deseado permanecer en el anonimato.

*"Tenemos que aumentar la comprensión pública de
la necesidad de contramedidas médicas, tales como una vacuna
universal contra los coronavirus (pan coronavirus vaccine). Un
impulsor clave son los medios de comunicación, y la economía
seguirá la conmoción que se cree. Debemos usar esa conmoción a
favor nuestro para ir a los temas reales. Los inversores
responderán si ven beneficios al final del proceso"*

Peter Daszak
2015[2]

*"Nous devons faire en sorte que le public comprenne mieux le besoin de
la nécessité de contre-mesures médicales, telles qu'un vaccin universel contre les
coronavirus (vaccin contre le pan-coronavirus). Les médias et l'économie en sont les
principaux moteurs.
Le moteur clé est les médias, et l'économie suivra le choc qui est créé.
Nous devons utiliser ce choc à notre avantage
à notre avantage pour arriver aux vrais problèmes. Les investisseurs
répondront s'ils voient des bénéfices à la fin du processus".*

Peter Daszak
2015

*"We need to increase public understanding of the need for
the need for medical countermeasures, such as a universal coronavirus vaccine
(pan coronavirus vaccine). A key driver is the media, and the economy.
key driver is the media, and the economy will follow the shock that is created.
We must use that shock to our advantage
to get to the real issues. Investors will
will respond if they see profits at the end of the process".*

Peter Daszak
2015

[2] "Transcripción completa de una entrevista al Dr. David E. Martin, director de M-CAM, empresa de control de patentes de innovación en todo el mundo. Participan el Dr. Reiner Fuellmich, el Dr. Wolfgang Wodarg, la Dra. Viviane Fischer, y el Dr. Martin Schwab"; EXTRAMUROS, julio de 2021, página 13.
https://drive.google.com/file/d/1y7XEj3ofRpJLuEjgy6uoj7WuPfZk7JIv/view?usp=sharing

INDICE / INDEX

4)	Discusión del 16/07/2021 sobre los efectos electromagnéticos ambientales en las personas ● *Discussion du 16/07/2021 sur les effets électromagnétiques de l'environnement sur les humains* ● *16/07/2021 discussion sur les effets électromagnétiques de l'environnement sur les humains*
5)	Explicaciones del Dr. Dietrich Klinhardt, médico, científico y profesor ● *Explications du Dr Dietrich Klinhardt, médecin, scientifique et conférencier* ● *Explanations by Dr. Dietrich Klinhardt, physician, scientist and lecturer*
6)	Solicitud de demanda de información a los gobiernos. Un ejemplo argentino ● *Demande d'informations de la part des gouvernements. Un exemple argentin* ● *Demand for information from governments. An Argentinean example*
X	**SÍNTESIS DEL ANÁLISIS REALIZADOS EN PERSONAS QUE PRESENTAN FENÓMENOS ELECTROMAGNÉTICOS NO NATURALES** ● SYNTHÈSE DE L'ANALYSE EFFECTUÉES SUR LES PERSONNES PRÉSENTANT DES PHÉNOMÈNES ÉLECTROMAGNÉTIQUES NON NATURELS ● SYNTHESIS OF THE ANALYSIS CARRIED OUT ON PEOPLE WITH UNNATURAL ELECTROMAGNETIC PHENOMENA
1)	Primer estudio - Tercer método: Estudio observacional "Secret 16", realizado por un cardiólogo y una enfermera de Charente (Francia), tiene como objetivo estudiar la magnetización de una moneda de un euro en 75 pacientes vacunados contra Covid, en comparación con un grupo control de 30 personas no vacunadas; por Julien Devilleger. ● *Première étude - Troisième méthode : L'étude observationnelle " Secret 16 ", menée par un cardiologue et une infirmière en Charente (France), vise à étudier la magnétisation d'une pièce de 1 euro chez 75 patients vaccinés contre le Covid, par rapport à un groupe témoin de 30 personnes non vaccinées ; par Julien Devilleger* ● *First study - Third method: Observational study "Secret 16", conducted by a cardiologist and a nurse in Charente (France), aims to study the magnetisation of a one euro coin in 75 patients vaccinated against Covid, compared to a control group of 30 non-vaccinated persons; by Julien Devilleger*
2)	Evaluación en personas de fenómenos electromagnéticos no naturales ● *Évaluation des phénomènes électromagnétiques non naturels chez l'homme* ● *Assessment of unnatural electromagnetic phenomena in humans*
XI	**SINTESIS DEL ANALISIS REALIZADO EN LAS MEDICIONES AMBIENTALES DE ENERGÍA ELECTROMAGNÉTICA** ● SYNTHÈSE DE L'ANALYSE DES MESURES ENVIRONNEMENTALES DE L'ÉNERGIE ÉLECTROMAGNÉTIQUE ● SYNTHESIS OF THE ANALYSIS OF ENVIRONMENTAL MEASUREMENTS OF ELECTROMAGNETIC ENERGY
1)	Informe de Relevamiento 21/09/2021; por Winston Puñales Moreno ● *Rapport d'Enquête 21/09/2021; par Winston Puñales Moreno* ● *Mapping Report 21/09/2021; by Winston Puñales Moreno*
2)	Informe de Relevamiento 25/10/2021; por Winston Puñales Moreno ● *Rapport d'Enquête 25/10/2021 ; par Winston Puñales Moreno* ● *Mapping Report 25/10/2021; by Winston Puñales Moreno*
3)	Comparando criterios; por Winston Puñales Moreno ● *Comparaison des critères ; par Winston Puñales Moreno* ● *Comparing criteria; by Winston Puñales Moreno*

XII	**ANÁLISIS DE VIALES O LA BÚSQUEDA DE LAS PERLAS OCULTAS** • ANALYSE DES FLACONS DE COVID-19 OU LA RECHERCHE DE PERLES CACHÉES • ANALYSIS OF COVID-19 VIALS OR THE SEARCH FOR HIDDEN PEARLS
1)	Antecedentes anteriores próximos a la narrativa COVID-19… Antonietta Gatti y Stefano Montanari: “Nuevas investigaciones de control de calidad de las vacunas: micro y nanocontaminación” • *Antonietta Gatti et Stefano Montanari : "Nouvelles recherches sur le contrôle de la qualité des vaccins : micro et nano-contamination"... Antonietta Gatti et Stefano Montanari : "Nouvelles recherches sur le contrôle de la qualité des vaccins : micro et nano-contamination"* • *Antonietta Gatti and Stefano Montanari: "New research on quality control of vaccines: micro- and nano-contamination"... Antonietta Gatti and Stefano Montanari: "New research on quality control of vaccines: micro and nano-contamination"*
2)	Pablo Campra Madrid: “Detección de Óxido de Grafeno en Suspensión Acuosa (COMIRNATY™ (RD1). Informe Provisional (I)”; Escuela Superior de Ingeniería, Universidad de Almería, 28 de junio de 2021 • *Pablo Campra Madrid : "Détection d'oxyde de graphène dans une suspension aqueuse (COMIRNATY™ (RD1). Interim Report (I)" ; École d'ingénierie, Université d'Almeria, 28 juin 2021* • *Pablo Campra Madrid: "Detection of Graphene Oxide in Aqueous Suspension (COMIRNATY™ (RD1). Interim Report (I)"; School of Engineering, University of Almeria, 28 June 2021*
3)	The Scientist’ club 12: Investigaciones nanotecnológicas sobre vacunas Covid-19. White paper on vaccines’ compositions • *The Scientist' club 12 : Recherche nanotechnologique sur les vaccins Covid-19. Livre blanc sur la composition des vaccins* • *The Scientist' club 12: Nanotechnology research on vaccines Covid-19. White paper on vaccines' compositions*
4)	Microscopía electrónica de barrido (SEM) y análisis de los componentes químicos (EDS). Estudio hecho por el Club del Tango. Fecha del estudio: 27/08/21 • *Microscopie électronique à balayage (SEM) et analyse des composants chimiques (EDS). Étude réalisée par le Tango Club. Date de l'étude : 27/08/21* • *Scanning electron microscopy (SEM) and analysis of chemical components (EDS). Study carried out by the Tango Club. Date of study: 27/08/21*
5)	Detección de materiales metálicos y no metálicos en solución acuosa (ChadOx1-S). Análisis observacional externo con instrumentación electrónica. Informe provisional (1). Estudio realizado por Guillermo Iturriaga[3], Laser Beam Technology, Chile, 30/08/21. • *Détection de matériaux métalliques et non métalliques en solution aqueuse (ChadOx1-S). Analyse d'observation externe avec instrumentation électronique. Rapport intermédiaire (1). Étude réalisée par Guillermo Iturriaga, Laser Beam Technology, Chili, 30/08/21* • *Detection of metallic and non-metallic materials in aqueous solution (ChadOx1-S). External observational analysis with electronic instrumentation. Interim report (1). Study carried out by Guillermo Iturriaga, Laser Beam Technology, Chile, 30/08/21.*
6)	Objetos no identificados en vacunas RNAm, 27/10/2021; por Pablo Campra Madrid • *Objets non identifiés dans les vaccins ARNm, 27/10/2021 ; par Pablo Campra Madrid* • *Unidentified objects in mRNA vaccines, 27/10/2021; by Pablo Campra Madrid*

[3] Ingeniero Electrónico. Ms. Cs.Molecular Biophysics, Harris University. USA. Técnico Electrónico y Sistemas Digitales.

7)	Detección de grafeno en vacunas COVID-19 por espectroscopía Micro RAMAN, 02/11/2021; por Pablo Campra Madrid • *Détection de graphène dans les vaccins COVID-19 par spectroscopie Micro RAMAN, 02/11/2021 ; par Pablo Campra Madrid* • *Detection of graphene in COVID-19 vaccines by Micro RAMAN spectroscopy, 02/11/2021; by Pablo Campra Madrid*
XIII	**ALGUNOS ESTUDIOS FORENSES, CLÍNICOS Y DE LABORATORIO REALIZADOS HASTA LA FECHA** • QUELQUES ÉTUDES MÉDICO-LÉGALES, CLINIQUES ET DE LABORATOIRE RÉALISÉES À CE JOUR • SOME FORENSIC, CLINICAL AND LABORATORY STUDIES CARRIED OUT TO DATE
1)	Informes forenses • *Rapports médico-légaux* • *Forensic reports*
2)	Informes clínicos • *Rapports cliniques* • *Clinical reports*
3)	Informes de laboratorio • *Rapports de laboratoire* • *Laboratory reports*
XIV	**SEÑALES BLUETOOTH O DE FRECUENCIAS ANÁLOGAS EN PERSONAS QUE HAN RECIBIDO LA INYECCIÓN EXPERIMENTAL COVID-19, ¿DELIRIO O REALIDAD?** • DES SIGNAUX DE FRÉQUENCE BLUETOOTH OU ANALOGIQUE CHEZ LES PERSONNES AYANT REÇU L'INJECTION EXPÉRIMENTALE COVID-19, DÉLIRE OU RÉALITÉ ? • BLUETOOTH OR ANALOGUE FREQUENCY SIGNALS IN PEOPLE WHO HAVE RECEIVED THE EXPERIMENTAL INJECTION COVID-19, DELIRIUM OR REALITY?
1)	Una pista de investigación. ¿Por qué? • *Une piste de recherche. Pourquoi ?* • *A research lead. Why?*
2)	NeTS: IntraBioNets: Modelos fundamentales de enlaces de red de comunicación biomolecular intracuerpo heterogéneos para Internet de Bio-NanoThings • *NeTS : IntraBioNets : modèles fondamentaux de liens de réseaux de communication biomoléculaires hétérogènes intracorporels pour l'Internet des Bio-NanoThings* • *NeTS: IntraBioNets: Fundamental models of heterogeneous intrabody biomolecular communication network links for the Internet of Bio-NanoThings*
3)	Sensores y energía continua • *Capteurs et énergie continue* • *Sensors and continuous energy*
4)	Una revisión sistemática de la interfaz Bio-Cyber Tecnologías y problemas de seguridad para Internet de las cosas bio-nano • *Examen systématique des technologies d'interface bio-cyber et des questions de sécurité pour l'internet des bio-nano-objets* • *A Systematic Review of Bio-Cyber Interface Technologies and Security Issues for the Internet of Bio-Nano Things*

5)	Explore Chemistry: “Sistema y método para testear el COVID-19”, patentado por Richard Rothschild el 13 de octubre de 2015 ● *Explore Chemistry : "System and method for testing COVID-19", breveté par Richard Rothschild le 13 octobre 2015* ● *Explore Chemistry: "System and method for testing COVID-19", patented by Richard Rothschild on 13 October 2015*
6)	Ingeniero Diego Hernán Barrientos… protocolos Bluetooth e inyecciones COVID-19 ● *Ingénieur Diego Hernán Barrientos ... Protocoles Bluetooth et injections COVID-19* ● *Engineer Diego Hernán Barrientos ... Bluetooth protocols and COVID-19 injections*
7)	Primeras constataciones en Uruguay por la Dra. Nicolle Salle ● *Premières constatations en Uruguay par le Dr. Nicolle Salle* ● *First findings in Uruguay by Dr. Nicolle Salle*
8)	Informe de un experimento realizado el 20 de junio de 2021 en Strassen, Luxemburgo. Testimonio de Amar Goudjil, Luxemburgo ● *Rapport d'une expérience menée le 20 juin 2021 à Strassen, Luxembourg. Témoignage d'Amar Goudjil, Luxembourg* ● *Report of an experiment conducted on 20 June 2021 in Strassen, Luxembourg. Testimony of Amar Goudjil, Luxembourg*
9)	Una pista que baja de los aires. Testimonio de un piloto argentino de aviación comercial, de Aerolíneas Argentinas ● *Un indice qui descend des airs. Témoignage d'un pilote argentin d'aviation commerciale, d'Aerolíneas Argentinas* ● *A signal coming down from the air. Testimony of an Argentinian commercial aviation pilot, from Aerolíneas Argentinas*
10)	¿Vuelos con pasajeros marcados? 22/08/2021: Constataciones de la Lic. María José Molina ● *Vols avec des passagers marqués ? 22/08/2021 : Constatations de Lic. María José Molina* ● *Flights with marked passengers? 22/08/2021: Findings by Lic. María José Molina*
11)	Gravissima Gravedad
12)	Comentarios de un informático sobre “Gravísima Gravedad” ● *Commentaires d'un informaticien sur “Gravíssima Gravedad”* ● *Comments from a computer scientist on “Gravíssima Gravedad”*
13)	Bosquejo de un primer protocolo para la detección de posibles señales Bluetooth en personas que han recibido una inyección experimental COVID-19 ● *Esquisse d'un premier protocole pour la détection d'éventuels signaux Bluetooth ou de type Bluetooth chez les personnes ayant reçu une injection expérimentale de COVID-19* ● *Outlines of a first protocol for the detection of possible Bluetooth signals in people who have received an experimental COVID-19 injection*
14)	Lo que las vacunas nos pone; testimonio del Dr. Luis Miguel Benito, médico gastroenterólogo, España ● *Ce que les vaccins nous apportent ; témoignage du Dr Luis Miguel Benito, gastro-entérologue, Espagne.* ● *What vaccines give us; testimony of Dr. Luis Miguel Benito, gastroenterologist, Spain.*

2)	Efectos adversos de las inyecciones experimentales en Fase III COVID-19. El número de casos individuales identificados en EudraVigilance para VACUNA COVID-19, hasta el 19/10/2021; por Germán Sarlangue ● *Effets adverses des injections expérimentales de la phase III de COVID-19. Le nombre de cas individuels identifiés dans EudraVigilance pour COVID-19 VACCINE; jusqu'au 19/10/2021 ; par Germán Sarlangue* ● *Adverse effects of Phase III COVID-19 experimental injections. The number of individual cases identified in EudraVigilance for COVID-19 VACCINE, up to 19/10/2021; by Germán Sarlangue*
3)	"The Israeli Professional Ethics Front": Primum non Nocere
4)	Estudio sobre las razones por las que los luxemburgueses se dejan vacunar contra el COVID-19 y sobre la realidad del número de personas que tuvieron efectos secundarios tras optar por este acto irreversible; por Amar Goudjil ● *Étude sur les raisons qui ont poussé les luxembourgeois à se laisser vacciner contre la COVID-19 et sur la réalité du nombre de personnes ayant eu des effets secondaires après avoir opté pour cet acte irréversible ; par Amar Goudjil* ● *Study on the reasons why Luxembourgers let themselves be vaccinated against COVID-19 and on the reality of the number of people who had side effects after having opted for this irreversible act; by Amar Goudjil*
5)	Hoja de ruta para la aplicación de las acciones de la Comisión Europea basadas en la comunicación de la Comisión y la recomendación del Consejo sobre el refuerzo de la cooperación contra las enfermedades prevenibles mediante vacunación"; marzo de 2019 ● *Feuille de route pour la mise en œuvre des actions de la Commission européenne basées sur la communication de la commission et la recommandation du conseil sur le renforcement de la coopération contre les maladies évitables par la vaccination" ; mars 2019* ● *Roadmap for the implementation of actions by the European Commission based on the commission communication and the council recommendation on strengthening cooperation against vaccine preventable diseases"; March 2019*
6)	Sobre las pruebas serológicas; por Marcela Witt ● *Sur les tests sérologiques; por Marcela Witt* ● *About serological tests; por Marcela Witt*
7)	Sobre la proteína Spike; por Marcela Witt y Luis Marcelo Martínez ● *Sur la protéine Spike; por Marcela Witt y Luis Marcelo Martínez* ● *About the Spike protein; por Marcela Witt y Luis Marcelo Martínez*

Español (original)	Francés	Inglés
	Traduction réalisée avec www.deepl.com/translato	Translation made with www.deepl.com/translator
VI- EMISIÓN ELECTROMAGNÉTICA (EEM). CARACTERÍSTICAS DE SU ACCIÓN SOBRE EL ENDOTELIO Y CARACTERÍSTICAS DE LA EMISIÓN DE 5G POR MICROONDAS MILIMÉTRICAS NO IONIZANTES[4]; POR ENRIQUE LUIS FERRACANI RISTENPART	**VI- ÉMISSION ÉLECTROMAGNÉTIQUE (EM). CARACTÉRISTIQUES DE SON ACTION SUR L'ENDOTHÉLIUM ET CARACTÉRISTIQUES DE L'ÉMISSION DE 5G PAR LES MICRO-ONDES MILLIMÉTRIQUES NON IONISANTES; PAR ENRIQUE LUIS FERRACANI RISTENPART**	**VI- ELECTROMAGNETIC EMISSION (EM). CHARACTERISTICS OF ITS ACTION ON THE ENDOTHELIUM AND CHARACTERISTICS OF 5G EMISSION BY NON-IONISING MILLIMETRE MICROWAVES; BY ENRIQUE LUIS FERRACANI RISTENPART**
El espectro electromagnético se extiende desde la radiación de menor longitud de onda (microondas), los rayos gamma, los rayos X incluyendo la radiación ultravioleta, la luz visible y la radiación infrarroja hasta las ondas electromagnéticas de mayor longitud de onda como son las ondas de radiofrecuencia y las ondas de emisión radial.	Le spectre électromagnétique s'étend des rayonnements de plus courte longueur d'onde (micro-ondes), des rayons gamma, des rayons X, y compris les rayonnements ultraviolets, de la lumière visible et des rayonnements infrarouges, aux ondes électromagnétiques de plus grande longueur d'onde telles que les ondes de radiofréquence et les ondes d'émission de rayonnement.	The electromagnetic spectrum ranges from shorter wavelength radiation (microwaves), gamma rays, X-rays, including ultraviolet radiation, visible light and infrared radiation, to longer wavelength electromagnetic waves, such as radio frequency waves and emission waves.

[4] Este capítulo está basado en los aportes científicos del Dr. Enrique Luis Ferracani Ristenpart, Cirujano General, Cirujano Cardiovascular, Ex jefe de Cirugía Cardiovascular Hospital Naval Dr. Pedro Mallo, Especialista en Angiología Vascular, Especialista en Laser endovenoso , Primer Premio de la Sociedad Argentina de Flebolinfologia año 2013 , Miembro del Comité de fiscalización del Colegio Argentino de Cirugía Cardiovascular.
https://docs.google.com/document/d/1GuPovzifBhN5465RDm_QEnJddgxl4A_4/edit?usp=sharing&ouid=102287567845410147194&rtpof=true&sd=true
FERRACANI REIMPART, Enrique Luis: "Hipótesis de investigación acerca de la existencia de cofactores físicos, etiológicos y fisiopatológicos asociados a la fisiopatogenia de la enfermedad SARS COV 1-2".
https://docs.google.com/document/d/1YLXs-3QxV5w0GHW21LsMDaEhcRuAGZYP/edit?usp=sharing&ouid=102287567845410147194&rtpof=true&sd=true

En medicina el uso de la EEM de radiofrecuencia (RF) bajo la técnica de diatermia se utiliza por el calor producido para producir la coagulación de tejidos y vasos sanguíneos. En cirugía venosa endovascular se la utiliza en forma de emisión EEM LÁSER y Radiofrecuencia para la oclusión de venas insuficientes por acción del calor emitido que provoca daño endotelial y las demás capas parietales.	En medicina el uso de la EEM de radiofrecuencia (RF) bajo la técnica de diatermia se utiliza por el calor producido para producir la coagulación de tejidos y vasos sanguíneos. En cirugía venosa endovascular se la utiliza en forma de emisión EEM LÁSER y Radiofrecuencia para la oclusión de venas insuficientes por acción del calor emitido que provoca daño endotelial y las demás capas parietales.	In medicine, the use of radiofrequency (RF) EEM under the diathermy technique is used for the heat produced to produce coagulation of tissues and blood vessels. In endovascular venous surgery it is used in the form of LASER and Radiofrequency EEM emission for the occlusion of insufficient veins by the action of the heat emitted which causes endothelial damage and the other parietal layers.
Esto depende de los joules o julios emitidos pudiendo ser; oclusivo o de remodelación vascular; según la potencia en vatios y el LEED usado o Densidad de energía longitudinal emitida.	Cela dépend des joules émis et peut être soit occlusif, soit un remodelage vasculaire, selon la puissance en watts et le LEED utilisé ou la densité de l'énergie longitudinale émise.	This depends on the joules emitted and can be either occlusive or vascular remodelling, depending on the power in watts and the LEED used or Density of longitudinal energy emitted.
Lo que provoca la emisión de calor es la lesión del endotelio y su destrucción, así como la lesión de la capa media y adventicia. Si la magnitud de julios usado es excesiva puede causar lesiones iatrogénicas sobre tejidos adyacentes perivasculares por necrosis de los mismos.	Ce qui provoque l'émission de chaleur, c'est la lésion et la destruction de l'endothélium, ainsi que la lésion de la couche médiane et adventicielle. Si la magnitude des joules utilisés est excessive, elle peut causer des lésions iatrogènes aux tissus périvasculaires adjacents par nécrose.	What causes heat emission is endothelial injury and destruction, as well as injury to the medial and adventitial layer. If the magnitude of joules used is excessive, it can cause iatrogenic injury to adjacent perivascular tissues through necrosis.

Estos fenómenos están mediados por la emisión de calor, coagulación local por activación de la cascada inflamatoria, activación plaquetaria inicial, necrosis tisular por destrucción irreversible celular y finalmente la “reparación “por tejido fibroso[ef1] .	Ces phénomènes sont médiés par la libération de chaleur, la coagulation locale par l'activation de la cascade inflammatoire, l'activation initiale des plaquettes, la nécrose tissulaire par la destruction irréversible des cellules et enfin la "réparation" par le tissu fibreux [ef1] .	These phenomena are mediated by heat release, local coagulation by activation of the inflammatory cascade, initial platelet activation, tissue necrosis by irreversible cell destruction and finally "repair" by fibrous tissue[ef1] .
Emisión Electromagnética por Microondas.	**Émission électromagnétique de micro-ondes.**	**Microwave Electromagnetic Emission.**
Fue Nikola Tesla el descubridor de las propiedades de la Emisión Electromagnética (EEM) siendo el creador de la Frecuencia alterna, actualmente la forma de provisión de energía eléctrica en EEUU.	C'est Nikola Tesla qui a découvert les propriétés de l'émission électromagnétique (EEM) et qui est à l'origine de la fréquence alternative, actuellement la forme d'alimentation électrique aux États-Unis.	It was Nikola Tesla who discovered the properties of Electromagnetic Emission (EEM) and was the originator of the Alternating Frequency, currently the form of electrical power supply in the USA.
La EEM fue asimismo usada para la trasmisión de ondas de radio como hizo Marconi para la emisión radiofónica copiando los trabajos de Tesla.	L'EEM a également été utilisé pour la transmission des ondes radio, comme l'a fait Marconi pour la radiodiffusion en copiant le travail de Tesla.	EEM was also used for the transmission of radio waves as Marconi did for radio broadcasting by copying Tesla's work.
En el siglo veinte tuvo desarrollo la telefonía móvil que pasó en el siglo veinte de generación inicial G1 a la última generación llamada 5G. La saturación de redes, así como la latencia y la necesidad de aumentar su capacidad de datos promovió este desarrollo tecnológico.	Au cours du vingtième siècle, la téléphonie mobile s'est développée de la génération initiale G1 à la dernière génération appelée 5G. La saturation des réseaux, ainsi que la latence et la nécessité d'augmenter leur capacité de données ont favorisé cette évolution technologique.	In the twentieth century, mobile telephony developed from the initial G1 generation to the latest generation called 5G. The saturation of networks, as well as latency and the need to increase their data capacity promoted this technological development.

Definiré algunos conceptos físicos de esta transmisión comenzando por la densidad, llamándose así a la conexión de muchos dispositivos móviles. Este aumento de densidad requiere más velocidad, menor latencia y mayor capacidad de transmisión de datos.	Je vais définir quelques concepts physiques de cette transmission en commençant par la densité, qui est la connexion de nombreux appareils mobiles. Cette densité accrue nécessite une vitesse plus élevée, une latence plus faible et une capacité plus importante pour la transmission des données.	I will define some physical concepts of this transmission starting with density, which is the connection of many mobile devices. This increased density requires higher speed, lower latency and higher capacity for data transmission.
Un equipo 4G tiene 1000 MB/seg mientras que un 5G tiene 20 Gigabytes, es decir un aumento de velocidad de casi 2000 %.	Un appareil 4G dispose de 1000 Mo/sec tandis qu'un appareil 5G dispose de 20 Gigaoctets, soit une augmentation de vitesse de près de 2000 %.	A 4G device has 1000 MB/sec while a 5G device has 20 Gigabytes, i.e. a speed increase of almost 2000 %.
Densidad	**Densité**	**Density**
La transmisión de telefonía celular se basa en ondas milimétricas desde una base emisora a antenas de repetición y de allí a células (teléfonos móviles) que en tecnología 4G son antenas de 20 metros de altura.	La transmission de la téléphonie mobile repose sur des ondes millimétriques allant d'une base émettrice à des antennes répétitrices, puis à des cellules (téléphones mobiles), qui, dans la technologie 4G, sont des antennes de 20 mètres de haut.	Mobile phone transmission is based on millimetre waves from a transmitter base to repeater antennas and from there to cells (mobile phones), which in 4G technology are 20-metre high antennas.
La trasmisión del 5G usa antenas de dos metros de altura con nivel de saturación en número por km2 de antenas (Densidad) muy superior a la tecnología 4G, de 3500/km2-4G a 1 millón/ km2 -5G.	La transmission 5G utilise des antennes de deux mètres de haut avec un niveau de saturation en nombre d'antennes par km2 (densité) beaucoup plus élevé que la technologie 4G, de 3500/km2-4G à 1 million/km2 -5G.	5G transmission uses two-metre high antennas with saturation level in number per km2 of antennas (Density) much higher than 4G technology, from 3500/km2-4G to 1 million/km2 -5G.

La tecnología 5G ha cambiado por las ondas milimétricas que emite y necesita un mecanismo de triangulación, pues las mismas pueden ser absorbidas por obstáculos que se interpongan en su camino, seres humanos, árboles y otros seres vivos.	La technologie 5G a changé en raison des ondes millimétriques qu'elle émet et nécessite un mécanisme de triangulation, car ces ondes peuvent être absorbées par les obstacles sur leur chemin - humains, arbres et autres êtres vivants.	5G technology has changed because of the millimetre waves it emits and needs a triangulation mechanism, as these waves can be absorbed by obstacles in their path - humans, trees and other living things.
Beam Forming y el Full duplex	**Formation de faisceaux et duplexage intégral**	**Beam Forming and Full Duplex**
Beam Forming es la tecnología de triangulación implementada para “dirigir haces de emisión” con repetidoras satelitales desplegadas en red como receptores emisores de la Fuente.	Le Beam Forming est la technologie de triangulation mise en œuvre pour "orienter les faisceaux d'émission" avec des répéteurs de satellites déployés dans un réseau comme récepteurs émetteurs de sources.	Beam Forming is the triangulation technology implemented to "steer emission beams" with satellite repeaters deployed in a network as source emitting receivers.
Se llama Full Dúplex al mecanismo que mejora la bi-direccionalidad en tiempo real con múltiples inputs y outputs (MIMO) reduciendo la “latencia “. En el 5G la capacidad de transmisión pasa de 1000MB/seg a 20GB/ seg.	Le mécanisme qui améliore la bidirectionnalité en temps réel avec des entrées et sorties multiples (MIMO) et réduit la latence est appelé Full Duplex. Dans la 5G, la capacité de transmission passe de 1000 Mo/sec à 20 Go/sec.	The mechanism that improves real-time bi-directionality with multiple inputs and outputs (MIMO) and reduces latency is called Full Duplex. In 5G the transmission capacity increases from 1000MB/sec to 20GB/sec.

Fue Heinrich Rudolf Hertz, quien introdujo el concepto de hercio y cómo se propagaban las ondas electromagnéticas en el espacio. Esta medida proviene del mundo de las ondas y no de la informática siendo definido un Hercio como un ciclo por segundo, GHz se trata de la abreviatura de una medida utilizada en electrónica llamada Gigahercio o Giga Hertz, es múltiplo del Hercio igual a 109 millones de Hercios que es lo que utiliza la tecnología 5G.	C'est Heinrich Rudolf Hertz qui a introduit le concept de Hertz et la façon dont les ondes électromagnétiques se propagent dans l'espace. Cette mesure est issue du monde des ondes et non de l'informatique, un Hertz étant défini comme un cycle par seconde, le GHz est l'abréviation d'une mesure utilisée en électronique appelée Gigahertz ou Giga Hertz, c'est un multiple du Hertz égal à 109 millions de Hertz, ce qu'utilise la technologie 5G.	It was Heinrich Rudolf Hertz, who introduced the concept of Hertz and how electromagnetic waves propagate in space. This measurement comes from the world of waves and not from computing, a Hertz being defined as one cycle per second, GHz is the abbreviation of a measurement used in electronics called Gigahertz or Giga Hertz, it is a multiple of the Hertz equal to 109 million Hertz, which is what 5G technology uses.
Hasta aquí hemos desarrollado como se usan las ondas en telefonía celular móvil; ahora analizaremos qué efecto producen en los tejidos biológicos como el tejido humano.	Jusqu'à présent, nous avons développé la manière dont les ondes sont utilisées dans la téléphonie cellulaire mobile ; nous allons maintenant examiner leur effet sur les tissus biologiques tels que les tissus humains.	So far we have developed how waves are used in mobile cellular telephony; now we will look at what effect they have on biological tissues such as human tissue.
La telefonía celular está basada en EEM y es una forma de radiación por microondas en el rango de 450- 3800 MHZ en la tecnología 4G, pero asciende a 24 - 80 GHZ en la 5G.	La téléphonie cellulaire est basée sur l'EEM et constitue une forme de rayonnement micro-ondes dans la gamme 450-3800 MHZ dans la technologie 4G, mais passe à 24-80 GHZ dans la 5G.	Cellular telephony is based on EEM and is a form of microwave radiation in the 450-3800 MHZ range in 4G technology, but rises to 24-80 GHZ in 5G.

Parte de esa energía es absorbida por el tejido vivo pues las microondas son una forma de energía que absorben los tejidos dieléctricos como son los tejidos biológicos. siendo el Índice de Absorción Específica IAE entre 1.6 Watts / 2 Watts por kg.	Une partie de cette énergie est absorbée par les tissus vivants car les micro-ondes sont une forme d'énergie absorbée par les tissus diélectriques tels que les tissus biologiques. Le débit d'absorption spécifique (DAS) se situe entre 1,6 watts / 2 watts par kg.	Part of this energy is absorbed by living tissue as microwaves are a form of energy absorbed by dielectric tissues such as biological tissues. The Specific Absorption Rate (SAR) is between 1.6 Watts / 2 Watts per kg.
El calentamiento dieléctrico es un calentamiento a través de radiación electromagnética de una longitud de onda de entre 0.001 y 1 m (correspondiente a unas frecuencias entre 300 y 0.3 GHz), es decir, ondas de radio y microondas.	Le chauffage diélectrique est un chauffage par rayonnement électromagnétique d'une longueur d'onde comprise entre 0,001 et 1 m (correspondant à des fréquences comprises entre 300 et 0,3 GHz), c'est-à-dire par ondes radio et micro-ondes.	Dielectric heating is heating by electromagnetic radiation with a wavelength between 0.001 and 1 m (corresponding to frequencies between 300 and 0.3 GHz), i.e. radio waves and microwaves.
El vatio o watt (símbolo: W) es la unidad derivada del Sistema Internacional de Unidades (SI) para la potencia siendo igual a 1 joules por segundo (1 J/s) y es utilizada para cuantificar la tasa a la que se transfiere la energía, siendo la definición de julios o joules la unidad utilizada para medir energía, trabajo y “calor”.	Le watt (symbole : W) est l'unité dérivée du Système international d'unités (SI) pour la puissance, qui est égale à 1 joule par seconde (1 J/s). Il est utilisé pour quantifier la vitesse à laquelle l'énergie est transférée, la définition du joule étant l'unité utilisée pour mesurer l'énergie, le travail et la "chaleur".	The watt (symbol: W) is the unit derived from the International System of Units (SI) for power being equal to 1 joule per second (1 J/s) and is used to quantify the rate at which energy is transferred, with the definition of joules being the unit used to measure energy, work and "heat".

Las antenas de enlace entre las celdas de telefonía celular emiten radiación EEM no ionizante. Esta radiación se mide en PIRE o Potencia Radio Isotrópica Enviada siendo su medida en Vatios / Kg.	Les antennes de liaison entre les cellules des téléphones cellulaires émettent des rayonnements EEM non ionisants. Ce rayonnement est mesuré en PIRE ou puissance émise rayonnée isotrope mesurée en watts/kg.	Link antennas between cellular telephone cells emit non-ionising EEM radiation. This radiation is measured in EIRP or Isotropic Radiated Emitted Power measured in Watts/Kg.
El biofísico Roland Glaser detectó en su trabajo, "Are thermoreceptors responsible for "non-thermal" effects of RF fields?", las llamadas moléculas termo receptoras celulares que activan un sistema de mensajería celular y producen un aumento de una proteína llamada Proteína de Choque Térmico que provoca un estrés metabólico celular por el calor absorbido, alterando por ejemplo, la barrera hemato-encefálica permeabilizándola y aumentando la presencia de albúmina en líquido cefalorraquídeo cuyo valor máximo normal es 23 mg por decilitro.	Le biophysicien Roland Glaser a détecté dans son article intitulé "Les thermorécepteurs sont-ils responsables des effets "non thermiques" des champs RF ? " les molécules dites thermoréceptrices cellulaires qui activent un système de messagerie cellulaire et produisent une augmentation d'une protéine appelée Heat Shock Protein qui provoque un stress métabolique cellulaire dû à la chaleur absorbée, altérant par exemple la barrière hémato-encéphalique en la perméabilisant et augmentant la présence d'albumine dans le liquide céphalo-rachidien dont la valeur maximale normale est de 23 mg par décilitre ".	Biophysicist Roland Glaser detected in his paper, "Are thermoreceptors responsible for "non-thermal" effects of RF fields? "the so-called cellular thermoreceptor molecules that activate a cellular messaging system and produce an increase in a protein called Heat Shock Protein that causes cellular metabolic stress due to the absorbed heat, altering for example the blood-brain barrier by permeabilising it and increasing the presence of albumin in cerebrospinal fluid whose normal maximum value is 23 mg per decilitre.
Efecto Rouleaux y protrombósis.	**Effet Rouleaux et prothrombose.**	**Rouleaux effect and prothrombosis.**
Nos detendremos a explicar otro efecto inducido por EEM, el fenómeno de Rouleaux.	Nous allons nous arrêter pour expliquer un autre effet induit par les EEM, le phénomène de Rouleaux.	We will stop to explain another effect induced by EEM, the Rouleaux phenomenon.

Es este una visualización microscópica de hematíes aglutinados con un aspecto anómalo de eritrocitos en pila de monedas.	Il s'agit d'une visualisation microscopique de globules rouges agglutinés avec un aspect anormal d'érythrocytes dans un tas de pièces de monnaie.	This is a microscopic visualisation of agglutinated red blood cells with an abnormal appearance of erythrocytes in a pile of coins.
Este fenómeno es otro factor procoagulante y trombótico obstruyendo el flujo sanguíneo, provocando coagulación intravascular sistémica con trombosis macro y microvasculares arteriales y venosas, afectando diferentes parénquimas (cerebro, pulmón arterias y venas periféricas, hepáticas, intestinales y miocárdicas) por hipoxia y acidosis metabólica por anaerobiosis debida a isquemia tisular.	Ce phénomène est un autre facteur procoagulant et thrombotique obstruant le flux sanguin, provoquant une coagulation intravasculaire systémique avec thrombose macro- et microvasculaire artérielle et veineuse, affectant différents parenchymes (cerveau, poumon, artères et veines périphériques, foie, intestin et myocarde) en raison de l'hypoxie et de l'acidose métabolique due à l'anaérobiose provoquée par l'ischémie tissulaire.	This phenomenon is another procoagulant and thrombotic factor obstructing blood flow, causing systemic intravascular coagulation with arterial and venous macro- and microvascular thrombosis, affecting different parenchyma (brain, lung, peripheral arteries and veins, liver, intestinal and myocardial) due to hypoxia and metabolic acidosis due to anaerobiosis caused by tissue ischaemia.
El efecto Rouleaux es el efecto en el que los glóbulos rojos se pegan (pila) en forma de un rollo de monedas siendo una reacción alérgica a antibióticos e infecciones En el contexto de este artículo, es importante que el efecto Rouleaux también sea causado por le EEM de la comunicación inalámbrica.	L'effet Rouleaux est l'effet par lequel les globules rouges se collent (s'empilent) sous la forme d'un rouleau de pièces de monnaie étant une réaction allergique aux antibiotiques et aux infections. Dans le contexte de cet article, il est important que l'effet Rouleaux soit également causé par le EEM de la communication sans fil.	The Rouleaux effect is the effect in which red blood cells stick together (pile up) in the form of a roll of coins being an allergic reaction to antibiotics and infections. In the context of this article, it is important that the Rouleaux effect is also caused by the EEM of wireless communication.

El apilamiento impide el flujo sanguíneo en particular a través de los capilares) y por lo tanto también impide la absorción de oxígeno en los pulmones, el transporte de oxígeno y la entrega de oxígeno en forma sistémica. Ello provoca la alteración del ciclo de Krebs pasándose a utilizar la glucosa en forma anaeróbica liberando ácido láctico y provoca una acidosis metabólica asociada a la respiratoria por ácido carbónico por respirar aire insaturado.	L'amoncellement entrave la circulation sanguine (en particulier dans les capillaires) et, par conséquent, l'absorption d'oxygène dans les poumons, le transport d'oxygène et l'apport d'oxygène systémique. Cela entraîne une perturbation du cycle de Krebs en passant à une utilisation anaérobie du glucose libérant de l'acide lactique et provoque une acidose métabolique associée à une acidose respiratoire carbonique due à la respiration d'air non saturé.	The pile-up impedes blood flow (particularly through the capillaries) and therefore also impedes oxygen uptake in the lungs, oxygen transport and systemic oxygen delivery. This leads to disruption of the Krebs cycle by switching to anaerobic use of glucose releasing lactic acid and causes a metabolic acidosis associated with carbonic acid respiratory acidosis from breathing unsaturated air.
En una publicación de 1978 ya se ha descrito que hay una tendencia a que la sangre coagule cuando se utilizan ondas de emisión milimétricas. Las ondas de 5G son ondas milimétricas como se describió ut supra en el apartado sobre trasmisión de ondas en telefonía móvil.	Dans une publication de 1978, il a déjà été décrit que le sang a tendance à coaguler lorsque des ondes d'émission millimétriques sont utilisées. Les ondes 5G sont des ondes millimétriques, comme décrit ci-dessus dans la section sur la transmission des ondes en téléphonie mobile.	In a 1978 publication it has already been described that there is a tendency for blood to clot when millimetre emission waves are used. 5G waves are millimetre waves as described above in the section on wave transmission in mobile telephony.

Los problemas respiratorios en pacientes Covid-19, especialmente en unidades de cuidados intensivos, se han atribuido recientemente a trombosis microvascular, que conduce a una disminución del flujo sanguíneo a los tejidos, con posibles infartos por trombosis microvascular causada por la coagulación de los glóbulos rojos.	Les problèmes respiratoires chez les patients Covid-19, en particulier dans les unités de soins intensifs, ont récemment été attribués à une thrombose microvasculaire, entraînant une diminution du flux sanguin vers les tissus, avec un possible infarctus dû à une thrombose microvasculaire causée par la coagulation des globules rouges.	Respiratory problems in Covid-19 patients, especially in intensive care units, have recently been attributed to microvascular thrombosis, leading to decreased blood flow to tissues, with possible infarction due to microvascular thrombosis caused by clotting of red blood cells.
Varias publicaciones han informado de que el efecto Rouleaux promueve la coagulación de la sangre.	Plusieurs publications ont rapporté que l'effet Rouleaux favorise la coagulation du sang.	Several publications have reported that the Rouleaux effect promotes blood clotting.
Por lo tanto, podríamos inferir que existe un vínculo entre los campos de emisión electromagnética de la comunicación 5G y la coagulación de los glóbulos rojos.	Par conséquent, nous pourrions en déduire qu'il existe un lien entre les champs d'émission électromagnétiques de la communication 5G et la coagulation des globules rouges.	Therefore, we could infer that there is a link between the electromagnetic emission fields of 5G communication and the coagulation of red blood cells.
La coagulación y su correlato, la trombosis micro y macrovascular contribuyen a la deficiencia de oxígeno, hipoxemia tisular, acidosis, problemas respiratorios siendo responsable de isquemia e infartos en pacientes con COVID-19.	La coagulation et son corrélat, la thrombose micro- et macrovasculaire contribuent au manque d'oxygène, à l'hypoxémie tissulaire, à l'acidose, aux problèmes respiratoires et sont responsables de l'ischémie et de l'infarctus chez les patients atteints de COVID-19.	Coagulation and its correlate, micro and macrovascular thrombosis contribute to oxygen deficiency, tissue hypoxaemia, acidosis, respiratory problems and are responsible for ischaemia and infarction in patients with COVID-19.



BOLETÍN OFICIAL DEL ESTADO

Núm. 143 — Miércoles 13 de junio de 2018 — Sec. I. Pág. 60634

España. Interfaz Radioeléctrico. Radioenlaces de servicio fijo en la banda 57-64 GHz. Referencia IR-261

Nº	Parámetro	Descripción	Comentarios
	Parte normativa		
1	Servicio de radiocomunicación.	Fijo.	
2	Aplicación.	Servicio fijo punto a punto (p-p).	Radioenlaces digitales en aplicaciones de servicio fijo.
3	Banda de frecuencias.	57-64 GHz.	
4	Canalización.	50 MHz.	Se dispone de 140 canales de 50 MHz, pudiendo usar anchuras mayores, hasta 2500 MHz.
5	Modulación/Ancho de banda.	Digital.	
6	Dirección/Separación dúplex.	Funcionamiento dúplex DDT o DDF.	En la modalidad DDF no se especifica a priori la separación dúplex ya que se definirá de acuerdo a las necesidades puntuales.
7	Potencia transmitida/Densidad de potencia.	Potencia máxima 55 dBW (p.i.r.e.).	La potencia transmitida se especifica en la licencia.
8	Método de acceso al canal y condiciones de ocupación.		
9	Tipo de autorización.	Precisa autorización de frecuencias.	Uso privativo del dominio público radioeléctrico.
10	Requisitos esenciales adicionales.		
11	Planificación de frecuencias.	Debido a la gran absorción del oxígeno, se reducen los requisitos de planificación de frecuencias en esta banda.	
	Parte informativa		
12	Cambios previstos.		
13	Referencias.	Recomendación UIT-R F.1497-2 (anexo 2). Recomendación ECC/REC(09)01. EN 302 217 (radioenlaces p-p). CNAF nota UN-126.	
14	Notificación.	2017/567/E.	
15	Observaciones.	Ganancia mínima de antena 30 dBi.	Este interfaz anula el interfaz IR-201, publicado en el BOE de 5 de diciembre de 2011.

Fuente / source: https://www.boe.es/boe/dias/2018/06/13/pdfs/BOE-A-2018-7913.pdf

Descargue todos los capítulos / téléchargez tous les chapitres / download all chapters:
https://drive.google.com/drive/folders/16vSnPNKfdvhC1yX-xHCTk08lhrpOvCoF?usp=sharing